

77. Drüsenglanzfarbstoffe aus Labiaten: Strukturen von 16 Diterpenen (Coleone und Royleanone) aus *Coleus coeruleescens* GÜRKE

von Konrad Grob¹⁾, Peter Rüedi und Conrad Hans Eugster

Organisch-chemisches Institut der Universität Zürich
Rämistrasse 76, CH-8001 Zürich

(28.VII.77)

**Leaf-gland pigments from labiateae: structures of 16 diterpenoids
(coleons and royleanones) from *Coleus coeruleescens* GÜRKE**

Summary

The Abyssinian labiate *Coleus coeruleescens* has been investigated for its leaf-gland pigments. From the very complex mixture of abietanoic diterpenoids the following pure constituents were isolated and their structures established:

- 1) *Diosphenols*: coleon C (**1a**), 16-*O*-acetyl-coleon C (**1b**), coleon W (**1f**);
- 2) *A/B-trans-6, 7-diketones*: coleon D (**2b**), 16-*O*-acetyl-coleon D (**2c**), coleon V (**2a**);
- 3) *Spiro-coleons*: 7,12-bis(*O*-desacetyl)-coleon N (**3a**), 12-*O*-desacetyl-coleon N (**3b**), coleon O (**4**), 6,12-bis(*O*-desacetyl)-coleon R (**5a**), 12-*O*-desacetyl-coleon R (**5b**), coleon Y (**5e**), 3-*O*-desacetyl-3-*O*-formyl-coleon Y (**5g**);
- 4) *Royleanones*: The *abeo*-compounds **6a**, **6b** and **7**.

Main compounds are **3b**, **5e** and **5g**. This is the first record of a co-occurrence of diosphenols, 6,7-dioxo-coleons, spiro-coleons and royleanones. Preliminary experiments show that solvolytic opening of the cyclopropane-ring followed by tautomerisation, oxidation to hydroxy-*p*-benzoquinones or elimination to quinomethanes and subsequent nucleophilic attack of the solvent leads to compounds with a 2'-substituted propyl group at C(13), thus supporting the biosynthesis of the unusual coleon E side chain.

1. Die halbsukkulente Labiate *Coleus coeruleescens* GÜRKE²⁾ ist sehr reich an roten, kugeligen Drüschen, aus denen sich durch milde Extraktion mit Äther/Aceton 1:1 und anschliessende Verteilung der Extraktivstoffe zwischen Petroläther und 80–90proz. wässrigem Methanol 5,4% (!, bezogen auf Trockenmaterial) hypophasische Anteile gewinnen lassen. Sie bestehen grösstenteils aus einem sehr komplexen Gemisch von polaren Diterpenoiden. Durch umfangreiche Chromato-

¹⁾ Siehe [1].

²⁾ Typusstandort Galla-Hochland (Harrar, Abessinien) im lichten Gebüsch an steinigen Berghängen, 1800 m ü.M. Das Pflanzenmaterial wurde 1971 und 1972 in der Nähe von Zürich aus Stecklingen herangezogen, die wir der Freundlichkeit der Städtischen Sukkulentensammlung Zürich (damaliger Leiter H. Krainz) verdanken.

graphien an SiO_2 , Sephadex LH-20, Polyamid usw. (s. exper. Teil) gelang es, 16 Diterpene in reiner Form und meist kristallisiert zu isolieren. Ihre Strukturen werden anschliessend abgeleitet.

2. Die für die Strukturbestimmung bei 6,7-Dioxo-abietanoiden und ihren Diosphenolen (Coleonen) sowie bei Royleanonen verwendeten Argumente haben wir in der vorausgehenden Mitteilung [3] zusammengefasst. Sie werden hier nicht wiederholt. Da nun zusätzlich *spiro*-Coleone angetroffen werden, stellen wir im Hinblick auf diese und später zu veröffentlichte Arbeiten ebenfalls einen Argumentenkatalog für die spektroskopische Herleitung der Strukturen stichwortartig zusammen³⁾:

- Erkennung des *spiro*-Coleon-Typus (vgl. Typ 3, 4 und 5): auf DC. durch typische Farbreaktionen ([4] [5] und exper. Teil dieser Mitteilung), UV.- (Endion-chromophor, s. [4] [6]), IR.- [4] und $^1\text{H-NMR}$.-Spektren (fehlende Isopropylsignale sowie Auftreten eines Methyldoublets und eines *ABX*-Systems mit dem für Cyclopropylprotonen bei typisch hohen Feldstärken auftretenden *AB*-Teil; s. 270 MHz-Spektrum in [4]);

- *trans*-A/B-Verknüpfung sowie relative Konfiguration an C(5), C(6), C(7) und C(10): Kopplungsmuster der entsprechenden Methinprotonen [4] [5]; Entschirmung der $\text{H}_3\text{C}(20)$ durch β -OH-C(6) [7]; chiroptische Daten von 7-*O-p*-Chlorbenzoaten [5] nach [8]; Vergleich von chemischen Verschiebungen mit Barbatusin, dessen Struktur durch Röntgen-Analyse bestimmt worden ist [6];

- (4 → 3)-*abeo*-Strukturen: exocyclische sp^2 -Methylenprotonen und sek. Methylgruppe oder zwei durch Homoallylkopplung verbreiterte Methysingulette [5]; bei α -CH₃-C(3) erscheint H-C(3) bei ca. 2,6 ppm mit $^4J_{\text{Allyl}} \approx 0$ Hz [4], bei β -CH₃-C(3) hingegen bei ca. 2,3 ppm mit $^4J_{\text{Allyl}} \approx 1$ Hz; zudem zeigen die exocyclischen Methylenprotonen im ersten Fall eine geringe gegenseitige Verschiebungsdifferenz von ca. 0,1 ppm, im zweiten jedoch eine solche von ca. 0,3 ppm;

- Stellung von exocyclicalem Methylen an C(4): $^4J_{\text{Allyl}}$ mit H-C(5) und Abschirmung von $\text{H}_3\text{C}(20)$ (vgl. z. B. [4]);

- *O*-Substitution an C(3): chemische Verschiebung und Multiplizität des Methinprotons und Anwesenheit des typischen $\text{H}_{\text{aq}}-\text{C}(1)$ -Signals sowie ASIS-Experimente [9]; relative Konfiguration aus Halbwertsbreite und Vergleich der chemischen Verschiebungen mit konfigurativ gesicherten Verbindungen (Sesselkonformation von Ring A!, vgl. [10]);

- *O*-Substitution an C(12): wenn α -Konfiguration vorliegt, erscheint das Singulett von H-C(12) bei hohem Feld, und Entschirmung von $\text{H}_3\text{C}(17)$ durch α -HO-C(12) ist zu beobachten; gleichzeitig erfolgt Entschirmung von H-C(15) durch O=C(14). Bei β -Konfiguration des C(12)-Substituenten ist H-C(12) paramagnetisch verschoben, und $\text{H}_3\text{C}(17)$ erscheint bei ca. 1,0 ppm statt bei 1,2 bis 1,3 ppm. Durch die eingetretene Konformationsänderung von Ring C werden $\text{H}_{\text{aq}}-\text{C}(1)$ durch O=C(11) und ein Methylenproton am Cyclopropanring durch O=C(14) stark entschirmt, während H-C(15) jetzt bei höherem Feld absorbiert (*ABM*-System, s. [5]); für die an C(12)- β -substituierten Verbindungen wird ein

³⁾ Im Abschnitt 3 werden nur die charakteristischen Daten angegeben; ergänzende Daten sind im exper. Teil registriert.

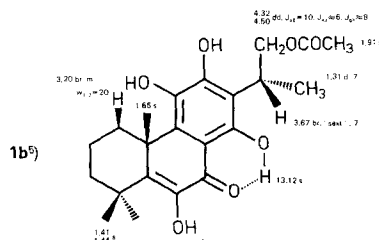
längerwelliger und intensiverer *Cotton-Effekt* für den $(n \rightarrow \pi^*)$ -Übergang beobachtet [5][11];

- Chiralität an C(15): mechanistische Aspekte [5] [12] und Spektrenvergleich mit Barbatusin [6];

- Absolute Konfiguration: Überführung in Royleanone und Herleitung der Chiralität von C(10) aus CD.-Messungen, chiroptische Vergleiche mit Barbatusin [6] sowie biogenetische Überlegungen.

3. Isolierte Verbindungen³⁾. – *Coleon C* (**1a**): 18 mg⁴⁾, schwefelgelbe Prismen, Smp. 207–210° (Zers.), identisch mit der aus *Coleus aquaticus* isolierten Verbindung [13].

16-O-Acetyl-coleon C (1b): 40 mg⁴), goldgelber Lack, C₂₂H₂₈O₇. - UV/VIS.: Diosphenol [3] [13]. - IR.: Acyl-hydrochinon [3] [13], Ester ($\tilde{\nu}_{\text{co}}$ 1712). - MS.: 404 (M^+ , 10), 344 ($M^+ - \text{HOAc}$, 45), 329 ($M^+ - \text{HOAc} - \text{CH}_3$, 100). Acetoxygruppe an C(16): Intakter Ring A (kein Oxymethinproton im ¹H-NMR.-Spektrum); tieffeldverschobener AB-Teil der Acetoxyisopropylseitenkette, s. [13].

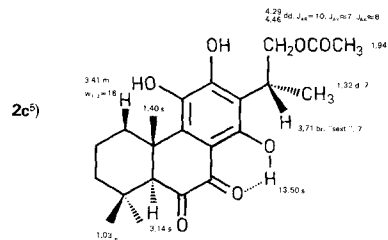


Derivat: Tetra-*O*-acetyl-coleon C (**1d**), identisch mit authentischem **1d** [13];

Coleon W (**1f**): 13 mg⁴), gelbe Prismen, Smp. 191,1–193,3° (Zers.); identisch mit dem aus *Plectranthus myrianthus* isolierten Diosphenol [3]:

Coleon D (**2b**): 27 mg⁴, fuchsrote Prismen, Smp. 207–211° (Zers.); identisch mit dem aus *Coleus aequaticus* isolierten Diketon [14].

16-O-Acetyl-coleon D (**2c**): 22 mg⁴), hellrote Prismen (aus Diisopropyläther), Smp. 161,0–161,8° (Zers.), $C_{22}H_{28}O_7$. – UV./VIS.: *trans*-A/B-6,7-Diketon [3] [15]. – IR.: 6,7-Diketon [3] [14] [15]. – MS.: 404 (M^+ , 10), 344 ($M^+ - HOAc$, 90), 329 ($M^+ - HOAc - CH_3$, 80).



⁴⁾ Die Ausbeuteangaben beziehen sich auf Reinsubstanzen aus 500 g lufttrockenem oberirdischem Pflanzenmaterial.

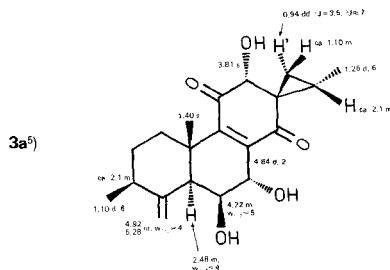
⁵⁾ ¹H-NMR.-Spektren, wenn nichts anderes angegeben, in Aceton-d₆; δ in ppm (TMS = 0); Kopplungskonstanten und Halbwertsbreiten in Hz; bei Hydroxymethinprotonen nach Zugabe von D₂O.

Derivate. Tetra-*O*-acetat **1c**, C₂₈H₃₄O₁₀, farblose Prismen, Smp. 191,6–192,4° (Zers.), [δ: 1,92, 2,35, 2,38, 2,40, je *s* (4 OAc); freie HO–C(6): H_{aq}–C(1) nicht entschirmt [3], fehlende HO–C(14) sowie geringe Tieffeldverschiebung der geminalen Dimethylgruppe an C(4)]. – Tetra-*O*-acetyl-coleon C (**1d**) und Penta-*O*-acetat **1e**, identisch mit authentischen Verbindungen [13] [14].

2c ist somit das *trans*-A/B-Dioxotautomere von **1b**.

Coleon V (**2a**): 14 mg⁴), rote Nadeln, Smp. 157–159° (Zers.), identisch mit der aus *Plectranthus myrianthus* isolierten Verbindung [3].

7,12-Bis(O-desacetyl)-coleon N (3a): 260 mg⁴), lange farblose Nadeln (aus Diisopropyläther), Smp. 178,4–179,8° (Zers.), C₂₀H₂₆O₅. – UV. und IR.: Endion [4]. – MS.: 346 (M^+ , 4), 328 ($M^+ - H_2O$, 100), 313 ($M^+ - H_2O - CH_3$, 70).



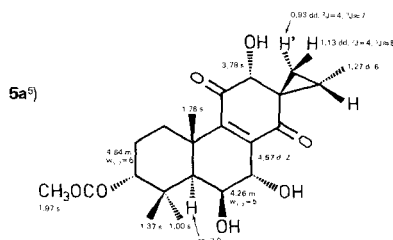
Derivate. Di-*O*-acetat **3c**=Coleon N, identisch mit authentischem **3c** aus *Plectranthus caninus* [5]; Tri-*O*-acetat **3d**, C₂₆H₃₂O₈, farblose Prismen, Smp. 172,5–173,4° (Zers.), $[\delta]$: 2,01, 2,06, 2,12, je *s* (3 OAc), 5,42, *m*, $w_{1/2}=4$ Hz (H—C(6)); 5,79, *d*, $J=2$ Hz (H—C(7)); 4,92, *s* (H—C(12))).

12-O-Desacetyl-coleon N (3b): 720 mg⁴), grünlichgelbe Prismen (aus Diisopropyläther), Smp. 172,6–172,9° (Zers.), C₂₂H₂₈O₆. – UV. und IR.: Endion [4]; Ester (\bar{r}_{co} 1730). – ¹H-NMR.: α -Acetoxygruppe an C(7): δ 1,93, *s* (OAc); 5,65, *d*, *J* = 2 Hz (H–C(7)). – MS.: 328 ($M^+ - \text{HOAc}$, 100), 313 ($M^+ - \text{HOAc} - \text{CH}_3$, 45).

Derivate, O-Acetate 3c und 3d.

Coleon O (4): 10 mg⁴), farblose Nadeln, Smp. 176,3–177,6° (Zers.), identisch mit der aus *Plectranthus caninus* isolierten spiro-Verbindung [5].

6,12-Bis(O-desacetyl)-coleon R (5a): 80 mg⁴), farbloser Lack, C₂₂H₃₀O₇. - UV. und IR.: Endion [4], Ester ($\tilde{\nu}_{\text{co}}$ 1710). - MS.: 406 (M^+ , 3), 388 ($M^+ - H_2O$, 25), 328 ($M^+ - H_2O - HOAc$, 55).



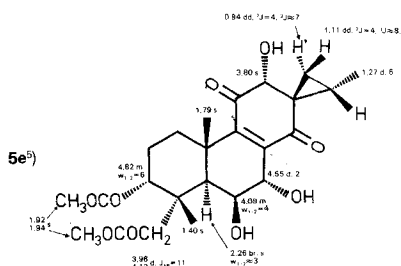
Derivat: Tetra-*O*-acetat **5d**, C₂₈H₃₆O₁₀, farblose Prismen, Smp. 194,7–195,9° (Zers.), δ : 2,00 (6 H), 2,04 und 2,08, je s (4 OAc); 5,40, m, $w_{1/2} = 3$ Hz (H—C(6));

5,55, *d*, $J=2$ Hz (H-C(7)); 4,84, *s* (H-C(12))]. – Acetylierung von Coleon R (**5c**) [5] gab **5d**, identisch mit dem Acetat aus **5a**.

12-O-Desacetyl-coleon R (5b): 160 mg⁴, farblose Rhomben (aus Diisopropyläther/Aceton), Smp. 174,4–174,8° (Zers.)⁶, $C_{24}H_{32}O_8$. – UV. und IR.: Endion [4]; Ester ($\tilde{\nu}_{co}$ 1740). – 1H -NMR.: β -Acetoxygruppe an C(6): δ 2,03, *s* (OAc); 5,36, *m*, $w_{1/2}=4$ Hz (H-C(6)). – MS.: 448 (M^+ , 2), 388 ($M^+ - H_2OAc$, 10), 328 ($M^+ - 2 H_2OAc$, 20).

Derivat: Tetra-*O*-acetat **5d**.

Coleon Y (5e): 1,1 g⁴, grünlichgelbe Prismen (aus Diisopropyläther/Aceton), Smp. 199,6–199,8° (Zers.), $C_{24}H_{32}O_9$. – UV. und IR.: Endion [4]; Ester ($\tilde{\nu}_{co}$ 1740). – MS.: 464 (M^+ , 2), 386 ($M^+ - H_2O - HOAc$, 20), 344 (386 – Keten, 20).



Derivat: Penta-*O*-Acetat **5f**, $C_{30}H_{38}O_{12}$, farbloser Lack [δ : 1,97 (6 H), 2,04, 2,08 und 2,12, je *s* (5 OAc); 5,32, *m*, $w_{1/2}=4$ Hz (H-C(6)); 5,61, *d*, $J=2$ Hz (H-C(7)); 4,90, *s* (H-C(12)); 1,19, *s* (H₃C(19)); 4,00, br. *s* (H₂C(18))].

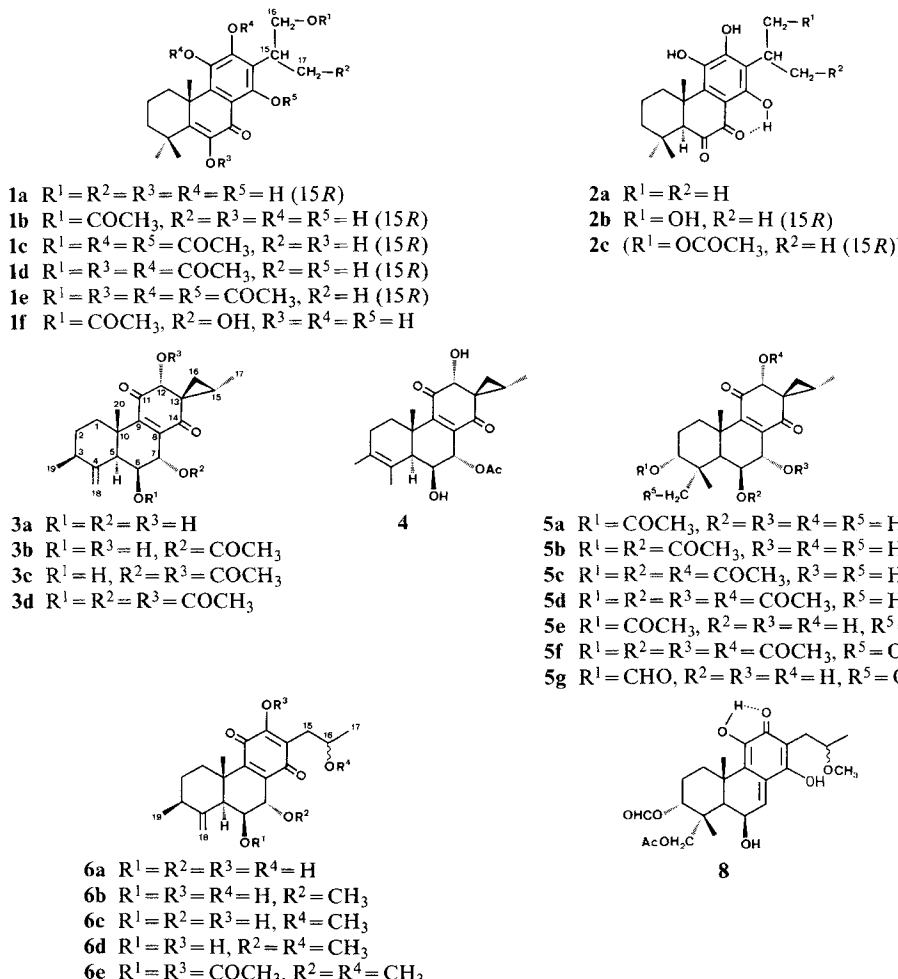
Stellung der beiden Acetoxygruppen in 5e: – an C(3): chemische Verschiebung und Multiplizität der Oxymethinprotonen; – an C(18): die durch die β -HO-C(6) entschirmte axiale H₃C(19) ($\delta=1,40$ ppm; pyridininduzierte Entschirmung in **5e** nach $\delta=1,61$ ppm) und Hochfeldverschiebung von H₃C(19) in **5f** ($\delta=1,19$ bei unveränderter Lage des AB-Systems⁷).

3-O-Desacetyl-3-O-formyl-coleon Y (5g): 520 mg⁴, gelbliche Prismen (aus Diisopropyläther/Aceton), Smp. 210,3–210,8° (Zers.), $C_{23}H_{30}O_9$. – UV. und IR.: Endion [4]; Ester ($\tilde{\nu}_{co}$ 1721). – 1H -NMR.: δ 8,09, *s* (Formyl-H), 4,96, *m*, $w_{1/2}=6$ Hz (H-C(3)). – MS.: 450 (M^+ , 3), 386 ($M^+ - H_2O - HCOOH$, 15), 372 ($M^+ - H_2O - HOAc$, 25).

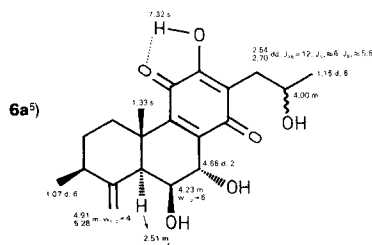
Formyloxygruppe an C(3): Abspaltung von HCOOH im MS.; paramagnetische Verschiebung (0,14 ppm) von H-C(3) gegenüber **5e** durch den Formylester⁸; Lage des AB-Systems unverändert; Spinentkopplung: Bestrahlen von H-C(3) gibt ein scharfes Singulett für das Formyl-H ($^4J_{3,O\text{-Formyl-H}}$).

- 6) Eine andere Modifikation von **5b**, gelbliche Würfel (aus Diisopropyläther/Aceton), hat einen Smp. von 166,5–167,5° (Zers.).
- 7) Inzwischen haben wir aus *Plectranthus lanuginosus* ein ähnliches an C(4) epimeres spiro-Diterpen isoliert [16]. Es zeigt die α -H₃C(18) bei $\delta=1,08$ ppm und da Zentrum des Oxymethylen-AB-Systems bei 4,59 ppm. Acetylierung und PISS. [10]-Experimente beeinflussen die äquatoriale Methylgruppe nicht, während das AB-System im 6-O-Acetat in 0,28 ppm diamagnetisch verschoben wird. Bestrahlung der α -H₃C(18) gibt ca. 20proz. NOE in H-C(6).
- 8) Entsprechende $\Delta\delta$ -Werte finden sich auch bei 7a-Formyloxy-[3] und 7a-Acetoxy-royleanon [7].

Schema 1



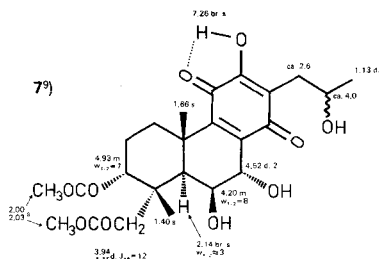
17(15 → 16), 19(4 → 3)-Bis (abeo)-6β, 7α, 16ξ-trihydroxy-royleanon (**6a**): 3,2 mg⁴, grünlichgelbe Prismen (aus Äther/Aceton), Smp. 191,4–193,1° (Zers.), $C_{20}H_{26}O_6$. – UV/VIS.: Royleanon-Typ [3] [7]. – IR.: Hydroxy-p-benzochinon [3] [7]. – MS.: 362 (M^+ , 5), 344 ($M^+ - H_2O$, 7), 300 ($M^+ - CH_3CHO$, 100).



(2'-Hydroxy)propyl-Seitenkette analog Coleon E [17].

17(15→16),19(4→3)-Bis(abeo)-6β,16ξ-dihydroxy-7a-methoxy-royleanon (6b): 2,8 mg⁴), grünlichgelber Lack, C₂₁H₂₈O₆. - UV./VIS.: Royleanon-Typ [3] [7]. - IR.: Hydroxy-*p*-benzochinon [3] [7]. (2'-Hydroxy)propyl-Seitenkette analog Coleon E [17]. - ¹H-NMR.: *α*-Methoxygruppe an C(7): δ 3,52, s; diamagnetische Verschiebung von H-C(7), δ 4,21, d, *J*=2 Hz durch die CH₃O-Gruppe (in CDCl₃). - MS.: 344 (*M*⁺ - CH₃OH, 15), 326 (*M*⁺ - CH₃OH - H₂O, 15).

17(15→16)-Ab eo-3a,18-diacetoxy-6β,7a,16ξ-trihydroxy-royleanon (7): 1,4 mg⁴), orangegelbes Pulver, C₂₄H₃₂O₁₀. - UV./VIS.: Royleanon-Typ [3] [7]. - IR.: Hydroxy-*p*-benzochinon [3] [7]; Ester (v_{co} 1722). - MS.: 462 (*M*⁺ - H₂O, 5), 402 (*M*⁺ - H₂O - HOAc, 25).

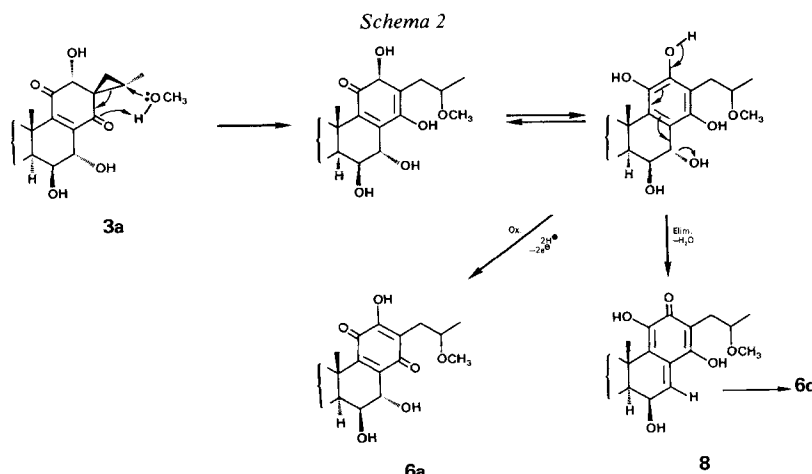


(2'-Hydroxy)propyl-Seitenkette analog Coleon E [17]. Stellungen der Acetoxygruppen s. 5e.

Mit der vorliegenden Untersuchung sind erstmals ganz verschiedenartige Coleon-Typen (6,7-Diketone, 6,7-Diosphenole, (4→3)-*abeo*-Typen, *spiro*-Endione) Da alle hier neu aufgefundenen Royleanone an C(13) die ungewöhnliche (2'-Hydroxy)propyl-Seitenkette aufweisen (vgl. Coleon E [17]) und sie zudem nur in sehr kleiner Konzentration auftreten, liegt es nahe anzunehmen, dass es sich um Solvolyseprodukte von *spiro*-Endionen handelt. Tatsächlich liess sich z.B. 3a mit Kaliumhydrogencarbonat in methanolisch-wässriger Lösung in die Royleanone 6c, C₂₁H₂₈O₆ [δ: 4,68, d, *J*=2 Hz (H-C(7))] und 6d, C₂₂H₃₀O₆ [δ: 3,44, s (H₃O-C(7)); 4,23, d, *J*=2 Hz (H-C(7)), Di-O-acetat 6e] umwandeln. Es dürfte sich um eine Methanolyse des *spiro*-Cyclopropyl-ketons zum Hydrochinon handeln (s. Schema 2). Anschliessend konkurriert die Oxydation zum *p*-Benzochinon 6a mit der Eliminierung zum Methylenchinon 8, das dann stereospezifisch Methanol addiert (→6d). Das bei 3a postulierte Methylenchinon konnte bei 5g durch analogen Umsatz isoliert werden: 8, C₂₄H₃₂O₉, gelbe Prismen, Smp. 162,2–165,5° (Zers.) [λ_{max} 314 nm, log ε 4,17; δ 3,45, s (OCH₃); 4,67, m, w_{1/2}=13 Hz (H-C(6)); 7,12, d, *J*=6 Hz (H-C(7)); Coleon E-Seitenkette [17] mit diamagnetisch verschobenem H-C(16)].

Da sich Royleanone schon in Rohextrakten aus *C. coerulescens* nachweisen lassen (Violettfärbung auf DC. mit NH₃-Dampf) ist es trotzdem möglich, dass es sich um genuin in der Pflanze vorhandene Verbindungen handelt.

⁹⁾ ¹H-NMR. in CDCl₃, ohne Zugabe von D₂O (grössere w_{1/2} der Hydroxy-methin-H).



Über den sterischen Verlauf der Methylwanderungen von C(4)→C(3) haben wir aufgrund von Literaturdaten in [5] Vorstellungen entwickelt. Danach sind 3 β -Oxyabietanoide Vorläufer für die 18(4→3)-abeo- und 3 α -Oxyabietanoide solche für die 19(4→3)-abeo-Verbindungen. Tatsächlich findet man in *Coleus somaliensis* die 3 β -oxygenierten Coleone H, I, K¹⁰) zusammen mit den (4→3)-abeo-Verbindungen Coleon G und J, die beide eine 3 α -CH₃-Gruppe besitzen [4] und in *Plectranthus caninus* Coleon R mit einer 3 α -Acetoxygruppe zusammen mit Coleon N, welches eine 3 β -CH₃-Gruppe aufweist. Die in der vorliegenden Arbeit aufgefundenen Coleone und Royleanone mit der 3 α -Acetoxygruppe werden in Übereinstimmung mit den soeben genannten Ergebnissen von (4→3)-abeo-Verbindungen mit einer 3 β -CH₃-Gruppe begleitet (Typ 3)¹¹).

Wir danken dem Schweizerischen Nationalfonds zur Förderung der wissenschaftlichen Forschung (Gesuch Nr. 2.129-0.74) für die finanzielle Unterstützung dieser Arbeit; den analytischen Abteilungen unseres Instituts für Verbrennungsanalysen, IR- und Massenspektren; Herrn H. Krainz, damaliger Leiter der Städtischen Sukkulentsammlung Zürich, für die Aufzucht von *C. coerulescens*.

Experimenteller Teil

1. Vorbemerkungen. – Arbeitstechniken, Materialien und verwendete Geräte s. [13]; Spektraldaten wie in [3]; IR-Spektren in KBr, nur intensivste Banden angegeben; Rf-Werte an Kieselgel-Fertigfolien *Macherey-Nagel & Co SIL N-HR/UV-254*.

2. Isolierung der Diterpene. – 500 g lufttrockene oberirdische Teile von *Coleus coerulescens* wurden mit Äther bei RT. während 4 Std. extrahiert und nach Dekantieren, zur vollständigen Extraktion der polaren Verbindungen (z. B. 5a, 5f etc.), 5mal mit Äther/Aceton 1:1 überschichtet und je ca. 15 Min. bei RT. stehengelassen. Es folgte Verteilung zwischen Petroläther (30–60°) und 90proz. Methanol und

¹⁰⁾ Die ursprünglich veröffentlichten 3 α -Hydroxystrukturen [18] wurden aufgrund neuer Experimente zu 3 β -Hydroxystrukturen revidiert [10].

¹¹⁾ Die von *Manchand & Blount* [19] kürzlich gemachte Bemerkung «Stemolide and the tryptolides are the only known diterpenes possessing an 18(4→3)abeo-abietane skeleton» ist irreführend und unrichtig, da sie die zahlreichen Diterpene mit 18 oder 19(4→3)abeo-Strukturen, die wir in den vergangenen Jahren beschrieben haben (Coleone E [17], F [20], G [4], J [4], M [5], N [5] und O [5]) übersieht.

Nachwaschen der Hypophase mit Petroläther. (Verwendete Lösungsmittelmengen pro 100 g Pflanzenmaterial: 100 ml Petroläther, zum Nachwaschen 70 ml; 50 ml 90proz. Methanol, 5mal extrahieren mit je 30 ml). Schonendes azeotropes Eindampfen bei ca. 30° i.V. Ausbeute: 13,5 g hypophasisches Farbharz. Die Komplexität des Gemisches sowie die teilweise extremen Mengenunterschiede der interessierenden Verbindungen verunmöglichen eine detaillierte Beschreibung der chromatographischen Aufarbeitung. Die Trennstrategie sei wie folgt zusammengefasst (vgl. Fig. 1):

a) Auftrennung der gesamten Hypophase in verschiedene Polaritätsstufen durch Säulenchromatographie an Kieselgel mit einem Benzol/Äthergradienten (15–100% Äther). Isolieren von 6 Fraktionen durch Eluierung und Zerschneiden der Säule (optimale Verhältnisse: Säule 8×35 cm, Adsorbens: Substanz ca. 20:1, Dauer 7 Std.);

b) Auftrennung dieser Fraktionen mit ähnlicher SiO_2 -Polarität in die verschiedenen Grundtypen durch Chromatographie an Sephadex LH-20 oder Polyamid, wobei stets reproduzierbare Eluierungsreihenfolgen beobachtet werden:

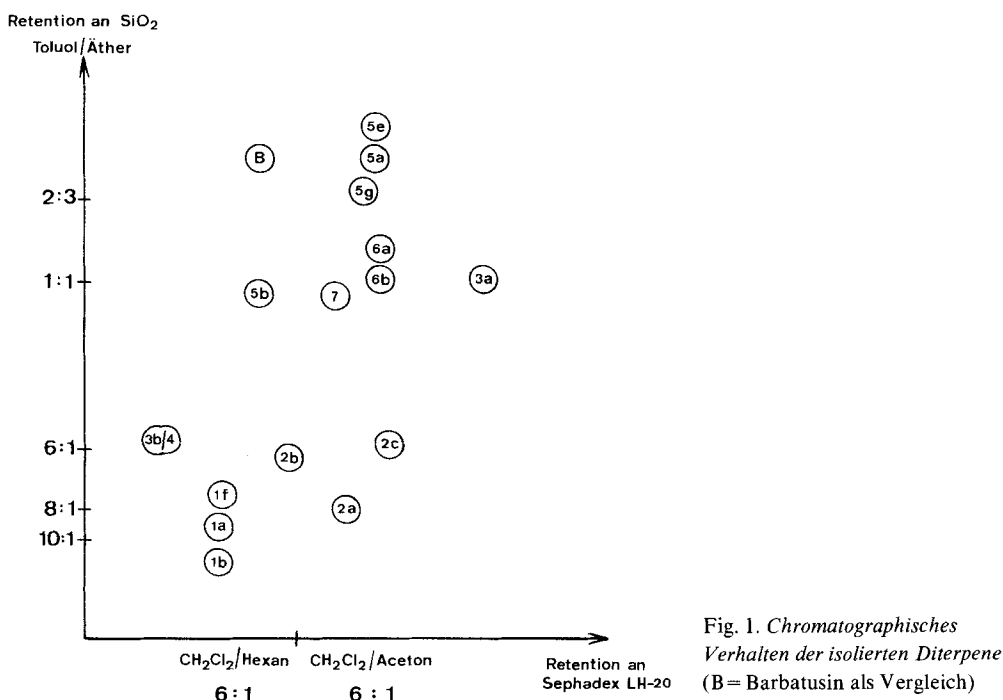


Fig. 1. Chromatographisches Verhalten der isolierten Diterpene
(B = Barbatusin als Vergleich)

An Sephadex LH-20 (Methylenchlorid/Hexan 6:1 und Methylenchlorid/Aceton 6:1): – höher molekulare Verunreinigungen (Chlorophyll und -Derivate etc.); – Royleanon; – spiro-Coleone ohne exocyclische Doppelbindung an C(4); – spiro-Coleone mit exocyclischer Doppelbindung an C(4); – Diosphenole; – Diketone (werden erst nach langsamer gradueller Polaritätssteigerung auf Methylenchlorid/Aceton 6:1 – 4:1 desorbiert). So läuft z.B. **5b** (Acetoxygruppe an C(3)) weit vor der 19abeo-Verbindung **3a**, während eine Trennung an SiO_2 unmöglich ist. Spiro-Verbindungen des gleichen Typs, z.B. **5a**, **5e**, **5g** wurden innerhalb derselben Fraktion eluiert;

An Polyamid: Methanol/H₂O 2:3 oder 3:7 eluiert spiro-Coleone deutlich vor den Royleanonen; Methanol/H₂O 7:3 entwickelt die Diosphenole, während die Desorption der sehr stark haftenden Diketone schwierig und mit Substanzverlusten verbunden ist;

c) Isolierung der reinen Diterpene aus den so erhaltenen Substanzklassen durch mehrfache Chromatographie an Kieselgel und fraktionierte Kristallisation mit nachfolgender Chromatographie der Mutterlaugen zur Isolierung von Nebenkomponenten: – Diketone mit Hexan/Aceton ca. 8:1; – Diosphenole mit Benzol/Äther ca. 10:1 – 8:1 (wenn erforderlich, Vorreinigung an Polyamid mit

Methanol/H₂O); - unpolare *spiro*-Coleone mit Hexan/Aceton ca. 6:1 und Toluol/Äther 6:1 - 4:1; - polare *spiro*-Coleone mit Toluol/Äther oder Benzol/Äther (merkliche Selektivitätsunterschiede!) 2:1 - 1:1; - Trennung von Verbindungen mit exocyclischer Doppelbindung an C(4) (Typ 3) von dem *endo*-Isomeren (4) an AgNO₃-imprägnierten SiO₂-Säulen, vgl. [5] (grosse Verluste!); - Royleanone nach Anreicherung durch Säulenchromatographie an Kieselgel teilweise mit präparativer DC. (günstige Laufmittel, s. Rf-Werte bei Substanzbeschreibungen).

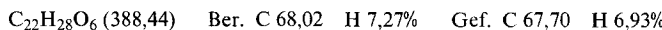
3. Eigenschaften und Spektraldaten der isolierten neuen Verbindungen³⁾. - *16-O-Acetyl-coleon C (1b)*. Rf 0,36 (Hexan/Aceton 2:1). - UV./VIS. (Äther): 259 (3,98), 283 (3,89), 324 (3,71), 381 (3,87). - IR.: 3390, 2940, 1712, 1625, 1602, 1451, 1305, 1170, 1038, 817. - MS.: 404 (M^+ , C₂₂H₂₈O₇, 10), 344 (M^+ - HOAc, 45), 330 (20), 329 (M^+ - HOAc - CH₃, 100), 301 (329 - CO, 12), 275 (20), 274 (329 - C₄H₇, 90), 262 (15), 261 (329 - C₅H₈, 18), 248 (10), 246 (274 - CO, 10), 205 (261 - 2 CO, 15), 128 (12), 115 (15), 91 (17), 83 (43).

16-O-Acetyl-coleon D (2c). Rf 0,07 (Hexan/Aceton 2:1). - UV./VIS. (Äther): 267 (3,69), 318 (3,89), 385 (3,66). - IR.: 3330, 2920, 1727, 1618, 1440, 1373, 1280, 1119, 1037, 953, 804. - ¹H-NMR. (Pyridin-d₅): 1,08 (s, 3 H, H₃C(18)); 1,47 (s, 3 H, H₃C(19)); 1,52 (s, 3 H, H₃C(20)); 1,59 (d, $J=7$ Hz, 3 H, H₃C(17)); 1,92 (s, 3 H, AcO-C(16)); 3,04 (s, 1 H, H_a-C(5)); 3,8 (m, $w_{1/2} \approx 14$ Hz, 1 H, H_{ag}-C(1)); 4,22 (sext., M -Teil, Linienabstand = 8 Hz, 1 H, H-C(15)); 4,86 (s und d, AA'-Teil, Linienabstand = 7 und 2 Hz, 2 H, H₂C(16)). - MS.: 404 (M^+ , C₂₂H₂₈O₇, 10), 344 (M^+ - HOAc, 90), 329 (M^+ - HOAc - CH₃, 80), 316 (344 - CO, 20), 314 (329 - CH₃, 17), 301 (344 - C₃H₇, 90), 286 (314 - CO, 15), 275 (55), 274 (329 - C₄H₇, 90), 273 (301 - CO, 30), 262 (30), 261 (329 - C₅H₈, 25), 247 (275 - CO, 38), 245 (30), 234 (262 - CO, 100), 217 (28), 115 (14), 91 (23), 69 (22), 60 (28), 55 (27).

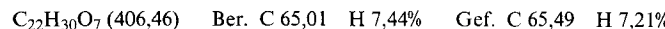
7,12-Bis(O-desacetyl)-coleon N (3a). Rf 0,23 (Toluol/Äther 1:2), Rf 0,40 (Diisopropyläther/Aceton 1:1); Farbreaktion auf DC.¹²⁾: sofort intensiv blau. - UV. (Methanol): 233 (4,02). - IR.: 3528, 3400, 2955, 2930, 1702, 1680, 1658, 1377, 1240, 1130, 1023, 895. - CD. (Dioxan, c = 0,242 mg/ml, d = 1 und 5 mm): 225 (+9,87), 239 (0), 244 (-1,72), 248 (0), 262 (+14,59), 297 (0), 330 (-0,66), 390 (0). - MS.: 346 (M^+ , C₂₀H₂₆O₅, 4), 329 (60), 328 (M^+ - H₂O, 100), 313 (M^+ - H₂O - CH₃, 70), 310 (M^+ - 2 H₂O, 35), 300 (328 - CO, 70), 295 (313 - H₂O und 310 - CH₃, 75), 285 (313 - CO, 75), 283 (30), 281 (25), 271 (45), 267 (295 - CO, 75), 257 (60), 253 (60), 245 (70), 239 (50), 231 (45), 229 (50), 217 (245 - CO, 60).



12-O-Desacetyl-coleon N (3b). Rf 0,31 (Toluol/Äther 1:1), Rf 0,37 (Diisopropyläther/Aceton 4:1); Farbreaktion auf DC.¹²⁾: sofort intensiv blau. - UV. (Methanol): 235 (4,04). - IR.: 3460, 2930, 1730, 1690, 1671, 1377, 1250, 1025, 964, 894. - ¹H-NMR. (Aceton-d₆): 0,92 (d \times d, $2J=4$ Hz und $3J \approx 7$ Hz, 1 H, H'-C(16)); ca. 1,1 (H-C(16)); 1,08 (d, $J=6,5$ Hz, 3 H, H₃C(19)); 1,25 (d, $J=6$ Hz, 3 H, H₃C(17)); 1,42 (s, 3 H, H₃C(20)); 1,93 (s, 3 H, AcO-C(7)); 2,26 (m, $w_{1/2}=4$ Hz, 1 H, H-C(5)); 3,91 (s, 1 H, H-C(12)); 4,15 (m, $w_{1/2}=4$ Hz, 1 H, H-C(6)); 4,94 und 5,27 (je m, $w_{1/2} \approx 3$ Hz, je 1 H, H₂C(18)); 5,65 (d, $J=2$ Hz, 1 H, H-C(7)). - ¹H-NMR. (CDCl₃): 0,98 (d \times d, $2J=4$ Hz, $3J \approx 7$ Hz, 1 H, H'-C(16)); 1,11 (d, $J=6$ Hz, 3 H, H₃C(19)); 1,28 (d, $J=6$ Hz, 3 H, H₃C(17)); 1,86 (m, 1 H, H-C(15)); 2,01 (s, 3 H, AcO-C(7)); ca. 2,1 (m, 1 H, H-C(3)); 2,28 (m, $w_{1/2}=4$ Hz, 1 H, H-C(5)); 4,16 (s, 1 H, H-C(12)); 4,22 (m, $w_{1/2}=4$ Hz, 1 H, H-C(6)); 4,98 und 5,18 (je m, $w_{1/2}=4$ Hz, je 1 H, H₂C(18)); 5,64 (d, $J=2$ Hz, 1 H, H-C(7)). - MS.: 328 (M^+ - HOAc, 100), 313 (M^+ - HOAc - CH₃, 45), 310 (328 - H₂O, 30), 300 (328 - CO, 50), 295 (310 - CH₃, 70), 294 (50), 285 (300 - CH₃, 60), 279 (294 - CH₃, 65), 267 (295 - CO, 70), 253 (40), 251 (45), 239 (45), 115 (95), 91 (96), 77 (70), 55 (96).

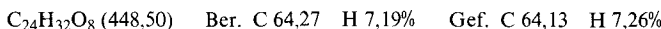


6,12-Bis(O-desacetyl)-coleon R (5a): Rf 0,41 (Äther); Farbreaktion auf DC.¹²⁾: langsam strohgelb bei RT. - UV. (Methanol): 235 (3,95). - IR.: 3340, 2940, 1710, 1670, 1380, 1270, 1040. - CD. (Dioxan, c = 0,255 mg/ml, d = 1 und 5 mm): 225 (+5,73), 239 (0), 245 (-2,23), 250 (0), 263 (+8,76), 300 (0), 330 (-0,38), 430 (0). - MS.: 406 (M^+ , C₂₂H₃₀O₇, 3), 388 (M^+ - H₂O, 25), 373 (M^+ - CH₃, 6), 372 (6), 328 (M^+ - H₂O - HOAc, 55), 313 (M^+ - H₂O - HOAc - CH₃, 100), 298 (313 - CH₃, 24), 295 (313 - H₂O, 45), 285 (313 - CO, 45), 271 (20), 267 (295 - CO, 15), 257 (15), 243 (20), 231 (18), 229 (20), 217 (35), 215 (15), 205 (25), 201 (229 - CO, 20), 189 (35), 55 (40).

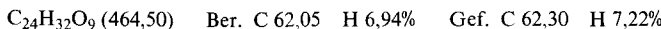


¹²⁾ Besprühen mit konz. H₂SO₄ der frischen, vom Laufmittel getrockneten Chromatogramme, s. [4] [5].

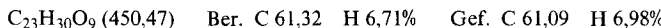
12-O-Desacetyl-coleon R (5b): Rf 0,07 (Toluol/Äther 1:1), Rf 0,23 (Diisopropyläther/Aceton 4:1); Farbreaktion auf DC.¹²⁾: langsam bräunlich bei RT. - UV. (Methanol): 231 (410). - IR.: 3400, 2978, 1740, 1685, 1377, 1248, 1190, 1032, 948, 779. - ¹H-NMR. (Aceton-d₆): ca. 0,98 und 1,1 (m, 2 H, H₂C(16)); 1,02 (s, 3 H, H₃C(18)); 1,17 (s, 3 H, H₃C(19)); 1,30 (d, J=6 Hz, H₃C(17)); 1,75 (s, 3 H, H₃C(20)); 1,99 und 2,03 (je s, je 3 H, OAc); 2,23 (br. s, w_{1/2}=3, 1 H, H-C(5)); 3,78 (s, 1 H, H-C(12)); 4,47 (d, J=2 Hz, 1 H, H-C(7)); 4,63 (*t*-artiges m, w_{1/2}=6 Hz, 1 H, H-C(3)); 5,36 (*t*-artiges m, w_{1/2}=4 Hz, 1 H, H-C(6)). - MS.: 448 (M⁺, C₂₄H₃₂O₈, 2), 430 (M⁺-H₂O, 5), 415 (M⁺-H₂O-CH₃, 3), 388 (M⁺-HOAc, 10), 373 (388-CH₃, 10), 372 (25), 355 (373-H₂O, 30), 328 (M⁺-2 HOAc, 20), 313 (328-CH₃, 15), 310 (328-H₂O, 45), 297 (80), 295 (310-CH₃, 100), 285 (20), 273 (15), 271 (15), 267 (295-CO, 30), 254 (15), 242 (35), 229 (25), 217 (10), 211 (8), 197 (15).



Coleon Y (5e): 1,1 g, schwach grünlichgelbe Prismen aus Diisopropyläther/Aceton; Smp. 199,6-199,8° (Zers.); Rf 0,08 (Toluol/Äther 1:2), Rf 0,12 (Äther), Rf 0,40 (Diisopropyläther/Aceton 1:1), Rf 0,20 (Chloroform/Aceton 2:1); Farbreaktion auf DC.¹²⁾: langsam warmbraun bei RT., nach ca. 30 Min. rotviolett. - UV. (Methanol): 235 (3,99). - IR.: 3535, 2965, 1740, 1710, 1694, 1672, 1375, 1270, 1236, 1040, 995, 889, 738. - CD. (Dioxan, c=0,277 mg/ml, d=1 und 5 mm): 244 (+9,21), 238 (0), 244 (-3,69), 249 (0), 263 (+14,24), 299 (0), 331 (-0,57), 420 (0). - ¹H-NMR. (Pyridin-d₅): 0,90 (d×d, ²J=4 Hz, ³J≈7 Hz, 1 H, H'-C(16)); 1,10 (d×d, ²J=4 Hz, ³J≈8 Hz, 1 H, H-C(16)); 1,23 (d, J=6 Hz, 3 H, H₃C(17)); 1,61 (s, 3 H, H₃C(19)); 1,78 (s, 3 H, H₃C(20)); 2,00 und 2,27 (je s, je 3 H, OAc); 2,87 (br. s, w_{1/2}=3 Hz, 1 H, H-C(5)); 4,28 (s, 1 H, H-C(12)); 4,29 und 4,53 (je d, AB-System, J_{AB}=11 Hz, je 1 H, H₂C(18)); 4,69 (m, w_{1/2}=5 Hz, 1 H, H-C(6)); 5,07 (m, w_{1/2}=6 Hz, 1 H, H-C(3)); 5,31 (d, J=2 Hz, H-C(7)). - MS.: 464 (M⁺, C₂₄H₃₂O₉, 2), 446 (M⁺-H₂O, 10), 386 (M⁺-H₂O-HOAc, 20), 371 (386-CH₃, 8), 368 (386-H₂O, 5), 353 (371-H₂O, 5), 344 (386-Keten, 20), 326 (344-H₂O oder 386-HOAc, 80), 311 (326-CH₃ oder 353-Keten, 100), 308 (326-H₂O, 30), 298 (326,-CO, 45), 295 (60), 293 (311-H₂O, 70), 283 (298-CH₃, 65), 280 (308-CO, 50), 269 (50), 265 (283-H₂O, 45), 255 (35), 251 (40), 241 (269-CO, 45).



3-O-Desacetyl-3-O-formyl-coleon Y (5g): Rf 0,05 (Toluol/Äther 1:2), Rf 0,08 (Äther), an SiO₂-Säulen im Gemisch **5g** jedoch vor **5e**! Farbreaktion auf DC.¹²⁾: langsam grauviolett, nach leichtem Erwärmen nach ca. 30 Min. rotviolett wie **5e**. - UV. (Methanol): 233 (3,98). - IR.: 3540, 2930, 1721, 1690, 1670, 1283, 1261, 1168, 1040, 910, 780. - ¹H-NMR. (Aceton-d₆): 0,96 (d×d, ²J=4 Hz, ³J≈7 Hz, 1 H, H'-C(16)); 1,11 (d×d, ²J=4 Hz, ³J≈9 Hz, 1 H, H-C(16)); 1,27 (d, J=6 Hz, 3 H, H₃C(17)); 1,44 (s, 3 H, H₃C(19)); 1,79 (s, 3 H, H₃C(20)); 1,99 (s, 3 H, AcO-C(18)); 2,24 (br. s, w_{1/2}=3 Hz, 1 H, H-C(5)); 3,78 (s, 1 H, H-C(12)); 3,97 und 4,09 (je d, AB-System, J_{AB}=10 Hz, 2 H, H₂C(18)); 4,10 (*t*-artiges m, w_{1/2}=4 Hz, 1 H, H-C(6)); 4,55 (d, J=2 Hz, 1 H, H-C(7)); 4,96 (m, w_{1/2}=6 Hz, H-C(3)); 8,09 (s, 1 H, Formyl-H). - ¹H-NMR. (Pyridin-d₅): 0,90 (d×d, ²J=4 Hz, ³J≈5 Hz, 1 H, H'-C(16)); 1,10 (d×d, ²J=4 Hz, ³J≈9 Hz, 1 H, H-C(16)); 1,26 (s, 3 H, H₃C(17)); 1,66 (s, 3 H, H₃C(19)); 1,98 (s, 3 H, H₃C(20)); 2,25 (3 H, s, AcO-C(18)); 2,86 (br. s, w_{1/2}=4 Hz, H-C(5)); 4,28 (s, 1 H, H-C(12)); 4,42 (br. s, w_{1/2}=4 Hz, AA'-System, 2 H, H₂C(18)); 4,69 (m, w_{1/2}=6 Hz, 1 H, H-C(6)); 5,20 (m, w_{1/2}=7 Hz, 1 H, H-C(3)); 5,34 (d, J=2 Hz, 1 H, H-C(7)); 7,86 (s, 1 H, Formyl-H). - MS.: 450 (M⁺, C₂₃H₃₀O₉, 3), 434 (20), 432 (M⁺-H₂O, 22), 416 (432-HCOOH, 25), 404 (M⁺-HCOOH, 3), 402 (1), 398 (3), 388 (434-HCOOH, 15), 386 (432-HCOOH, 15), 372 (25), 370 (388-H₂O, 25), 357 (372-CH₃, 5), 355 (370-CH₃, 5), 344 (372-CO, 15), 342 (370-CO, 10), 326 (344-H₂O oder 372-HCOOH, 100), 311 (326-CH₃, 86), 295 (326-CH₂OH, 70), 279 (311-CH₃OH, 35).



Bis(abeo)-royleanon 6a. Rf nicht genau bestimmbar wegen starker Schwanzbildung, jedoch wenig polarer als **5e/5g**; Farbreaktionen auf DC.: mit NH₃-Dampf sofort intensiv violett, mit konz. H₂SO₄ sofort gelbgrün, etwas später braun. - UV./VIS. (Methanol): 274 (3,89), 405 (2,23). - IR.: 3375, 2938, 1679, 1658 Sch., 1651, 1611, 1387, 1343, 1228, 1151, 1132, 1029, 1018, 992, 900, 760. - CD. (Dioxan, c=0,135 mg/ml, d=5 mm): 224 (0), 236 (-0,91), 249 (0), 284 (+14,48), 358 (0), 413 (-1,39), 500 (0). - MS.: 362 (M⁺, C₂₀H₂₆O₆, 5), 344 (M⁺-H₂O, 7), 329 (M⁺-H₂O-CH₃, 5), 328 (5), 326 (M⁺-2 H₂O, 7), 318 (M⁺-CH₃CHO, 10), 311 (326-CH₃, 20), 300 (318-H₂O, 100), 295 (7), 285 (300-CH₃, 50),

283 (311 - CO, 30), 272 (300 - CO, 25), 269 (35), 268 (40), 267 (35), 257 (285 - CO, 60), 253 (30), 243 (30), 239 (60), 230 (30), 203 (45).

Di-abeo-7 α -methoxy-royleanon 6b. Rf 0,24 (Toluol/Äther 1:2), nahezu gleiche Polarität wie 3a; Farbreaktionen auf DC.: mit NH₃-Dampf sofort intensiv violett, nach anschliessendem Besprühen mit konz. H₂SO₄ sofort zitronengelb. - UV./VIS. (Methanol): 273 (3,67), 407 (2,72). - ¹H-NMR. (CDCl₃): 1,07 (d, J=6 Hz, 3 H, H₃C(19)); 1,10 (d, J=6,5 Hz, 3 H, H₃C(17)); 2,44 (m, w_{1/2}=4 Hz, 1 H, H-C(5)); 3,52 (s, 3 H, CH₃O-C(7)); 4,07 (sext., Linienabstand=6 Hz, 1 H, H-C(16)); 4,21 (d, J=2 Hz, 1 H, H-C(7)); 4,38 (m, w_{1/2}=5 Hz, 1 H, H-C(6)); 4,98 und 5,10 (je m, w_{1/2}=4 Hz, je 1 H, H₂C(18)). - MS.: 346 (M⁺+2-CH₃OH, 20), 344 (M⁺-CH₃OH, 15), 328 (M⁺+2-CH₃OH-H₂O, 30), 326 (M⁺-CH₃OH-H₂O, 15), 313 (328-CH₃, 20), 311 (326-CH₃, 22), 302 (346-CH₃CHO, 50), 300 (M⁺-CH₃OH-CH₃CHO, 100), 295 (30), 285 (300-CH₃ oder 313-CO, 40), 284 (40), 269 (40), 268 (35), 257 (285-CO, 30), 255 (20), 243 (15), 241 (269-CO, 20), 230 (25), 229 (25), 217 (15), 215 (15), 205 (40), 190 (20).

Di-abeo-3 α ,18-diacetoxy-royleanon 7. Rf 0,22 (Toluol/Äther 1:2); Farbreaktionen auf DC.: mit NH₃-Dampf sofort intensiv violett, mit konz. H₂SO₄ sofort zitronengelb. - UV./VIS. (Äther): 270 (3,96), 395 (2,83). - IR.: 3440, 1722, 1658, 1635, 1610, 1380, 1260, 1035. - CD. (Dioxan, c=0,135 mg/ml, d=5 mm): 237 (0), 245 (-1,07), 265 (0), 283 (+6,55), 369 (0), 414 (-0,85), 495 (0). - MS.: 462 (M⁺-H₂O, 5), 446 (10), 430 (446-CH₃OH, 10), 402 (462-HOAc, 25), 384 (402-H₂O, 55), 374 (13), 368 (14), 358 (40), 342 (30), 324 (342-H₂O, 35), 309 (324-CH₃, 100), 297 (30), 295 (70), 283 (40), 281 (309-CO, 40), 269 (25), 267 (30), 255 (20), 243 (30), 241 (30), 239 (267-CO, 30), 299 (25), 217 (20), 199 (229-CO, 25).

4. Tetra-O-acetat 1c (= 11,12,14,16-Tetra-O-acetyl-coleon C). - 10 mg 2c in 0,5 ml Pyridin wurden mit 3 Tropfen Acetanhydrid versetzt (RT.). Nach 30 Min. wurde im HV. (30°) eingedampft; präparative DC. (SiO₂, Hexan/Aceton 2:1, 1mal steigend) und Kristallisation der farblosen, im UV-254 blauen Hauptzone mit Rf ca. 0,3 ergaben 6 mg 1c, farblose Prismen aus Diisopropyläther/Hexan, Smp. 191,6-192,4° (Zers.). - UV. (Äther): 240 Sch. (3,80), 264 (3,83), 323 (3,91). - ¹H-NMR. (Aceton-d₆): 1,25 (d, J=7 Hz, 3 H, H₃C(17)); 1,45 und 1,50 (je s, je 3 H, H₃C(18), H₃C(19)); 1,61 (s, 3 H, H₃C(20)); 1,92 (s, 3 H, AcO-C(16)); 2,35, 2,38 und 2,40 (je s, je 3 H, OAc); 3,48 (m, M-Teil, 1 H, H-C(15)); 4,14 und 4,30 (m und d×d, AB-Teil, J_{AB}=10 Hz, 2 H, H₂C(16)). - MS.: 530 (M⁺, C₂₈H₃₄O₁₀, 30), 488 (M⁺-Keten, 55), 470 (M⁺-HOAc, 20), 446 (M⁺-2 Keten, 40), 428 (M⁺-Keten-HOAc, 45), 404 (M⁺-3 Keten, 40), 386 (M⁺-2 Keten-HOAc, 55), 371 (386-CH₃, 25), 359 (30), 344 (M⁺-3 Keten-HOAc, 60), 329 (344-CH₃, 100), 317 (359-Keten, 55), 275 (359-2 Keten, 95).

5. Coleon N (3c) und Tri-O-acetat 3d (= 6 β -O-Acetyl-coleon N). - 50 mg 3a gelöst in 5 ml Pyridin/Acetanhydrid 1:1 bei RT. 2 Std. stehengelassen («milde Acetylierung»)¹³; Eindampfen im HV. (30°) und präparative DC. (SiO₂, Diisopropyläther, 1mal steigend) gab aus der Hauptzone mit Rf 0,55 nach Kristallisation 28 mg Coleon N (3c) [5] und aus der Nebenzone 8 mg Tri-O-acetat 3d, farblose Prismen aus Diisopropyläther/Hexan, Smp. 172,5-173,4° (Zers.). - UV. (Methanol): 236 (4,01). - IR.: 2960, 1770 Sch., 1750, 1718, 1687, 1372, 1230, 1205, 1030, 994. - ¹H-NMR. (CDCl₃): 1,12 (d, J=6 Hz, 3 H, H₃C(19)); 1,16 (d, J=6 Hz, 3 H, H₃C(17)); 1,42 (s, 3 H, H₃C(20)); 2,01, 2,06 und 2,12 (je s, je 3 H, OAc); 2,47 (m, w_{1/2}=4 Hz, 1 H, H-C(5)); 4,66 und 4,92 (je m, w_{1/2}=4 Hz, je 1 H, H₂C(18)); 4,92 (s, 1 H, H-C(12)); 5,42 (d×d-artiges m, w_{1/2}=4 Hz, 1 H, H-C(6)); 5,79 (d, J=2 Hz, 1 H, H-C(7)). - MS.: 412 (M⁺-HOAc, 3), 410 (2), 370 (M⁺-HOAc-Keten, 17), 369 (20), 352 (M⁺-2 HOAc, 15), 337 (352-CH₃, 15), 328 (M⁺-HOAc-2 Keten, 10), 310 (M⁺-2 HOAc-Keten, 100), 295 (310-CH₃, 80), 293 (30), 282 (310-CO, 30), 281 (30), 279 (20), 271 (20), 267 (295-CO, 40), 255 (15), 253 (20), 239 (15), 225 (15), 199 (30), 185 (13), 165 (10), 141 (12), 128 (15), 115 (19), 111 (21), 91 (22), 83 (10), 60 (11).

Analog wurden aus 40 mg 3b 22 mg Coleon N (3c) und 3 mg 3d erhalten. Energischere Bedingungen (Acetanhydrid/Pyridin 1:1, 4 Std. bei 45-50°, Wasserbad («harte Acetylierung»), analoge Aufarbeitung) gaben aus 20 mg 3b nur 2 mg Coleon N und 12 mg Tri-O-acetat 3d.

6. Tetra-O-acetat 5d (= 7 α -O-Acetyl-coleon R). - «Harte Acetylierung» (s. Kap. 5) von 20 mg 5a, präparative DC. (SiO₂, Diisopropyläther/Aceton 3:1, 1mal steigend) und Kristallisation (Diisopropyläther) gab 13 mg Tetra-O-acetat 5d, farblose Prismen aus Diisopropyläther/Hexan 2:1, Smp. 194,7-

¹³) Durch die «milde Acetylierung» wird die sterisch gehinderte 6 β -HO-C(6) nur langsam angegriffen.

195,9° (Zers.). - UV. (Methanol): 233 (3,91). - IR.: 2950, 1753, 1721, 1680, 1370, 1230, 1038, 995, 950, 934, 902, 779. - ¹H-NMR. (Aceton-d₆): 0,98 (s, 3 H, H₃C(18)); 1,08 (s, 3 H, H₃C(19)); 1,15 (d, J=6, 3 H, H₃C(17)); 1,74 (s, 3 H, H₃C(20)); 2,00 (6 H), 2,04 und 2,08 (je s, je 3 H, AcO); 4,60 (*t*-artiges *m*, w_{1/2}=6 Hz, 1 H, H-C(3)); 4,84 (s, 1 H, H-C(12)); 5,40 (*t*-artiges *m*, w_{1/2}=3 Hz, 1 H, H-C(6)); 5,55 (d, J=2 Hz, 1 H, H-C(7)). - MS.: 532 (M⁺, C₂₈H₃₆O₁₀, <1), 490 (M⁺-Keten, 1), 472 (M⁺-HOAc, 2), 430 (M⁺-HOAc-Keten, 5), 412 (M⁺-2 HOAc, 5), 397 (412 -CH₃, 5), 370 (M⁺-2 HOAc-Keten, 15), 355 (370 -CH₃, 15), 352 (M⁺-3 HOAc, 20), 341 (10), 328 (388 -HOAc oder 370 -Keten, 20), 323 (10), 313 (328 -CH₃, 20), 310 (328 -H₂O, 30), 296 (28), 295 (310 -CH₃, 32), 281 (100), 279 (40), 267 (20), 252 (20), 239 (25), 238 (26), 227 (25), 225 (30), 214 (25), 213 (20), 211 (20), 199 (15), 197 (15), 186 (16).

«Milde Acetylierung» (s. Kap. 5) von **5b** und von Coleon R (**5c**) [5] (je 15 mg) gab nach analoger Aufarbeitung je das Tetra-O-acetat **5d** in ca. 70proz. Ausbeute.

7. Penta-O-acetat 5f (= Tri-O-acetyl-coleon Y). - 30 mg **5e** wurden «hart» acetyliert (s. Kap. 5). Präp. DC. (SiO₂, Äther) ergab aus der einzigen Hauptzone mit Rf ca. 0,4 18 mg Penta-O-acetat **5f**, farbloser Lack, der auch nach erneuten Nachreinigungen nicht kristallisiert werden konnte. - UV. (Methanol): 234 (3,97). - IR.: 3475, 2960, 2765 Sch., 1750, 1723, 1680, 1374, 1260, 1245, 1230, 1210, 1197, 1035, 1028, 950. - ¹H-NMR. (Aceton-d₆): ca. 1,08 (m, ca. 1 H, H'-C'(16)); 1,18 (d, J=5, 5 Hz, 3 H, H₃C(17)); 1,19 (s, 3 H, H₃C(19)); 1,80 (s, 3 H, H₃C(20)); 1,97 (s, 6 H, OAc); 2,04, 2,08 und 2,12 (je s, je 3 H, OAc); 2,32 (br. s, w_{1/2}=3 Hz, 1 H, H-C(5)); 4,00 (br. s, w_{1/2}=2 Hz, 2 H, H₂C(18)); 4,81 (*t*-artiges *m*, w_{1/2}=6 Hz, 1 H, H-C(3)); 4,90 (s, 1 H, H-C(12)); 5,32 (*t*-artiges *m*, w_{1/2}=4 Hz, 1 H, H-C(6)); 5,61 (d, J=2 Hz, 1 H, H-C(7)). - MS.: 590 (M⁺, C₃₀H₃₈O₁₂, 1), 548 (M⁺-Keten, 2), 530 (M⁺-HOAc, 3), 488 (M⁺-HOAc-Keten, 8), 470 (M⁺-2 HOAc, 10), 446 (M⁺-HOAc-2 Keten, 5), 428 (M⁺-2 HOAc-Keten, 10), 413 (428 -CH₃, 10), 410 (M⁺-3 HOAc, 35), 386 (428 -Keten, 10), 368 (M⁺-3 HOAc-Keten, 50), 353 (368 -CH₃, 20), 344 (386 -Keten, 5), 339 (8), 337 (5), 326 (386 -HOAc oder M⁺-3 HOAc-2 Keten, 45), 321 (353 -CH₃OH, 5), 311 (326 -CH₃, 40), 308 (368 -HOAc, 55), 295 (45), 293 (311 -H₂O, 70), 284 (326 -Keten, 30), 281 (50), 279 (321 -Keten, 30), 281 (50), 279 (321 -Keten, 100), 277 (60), 269 (50), 265 (293 -CO, 50), 253 (45), 251 (46), 227 (47), 225 (47).

8. Solvolysen des Cyclopropanringes; →bis(abeo)-Royleanone **6c, **6d** und Chinomethan **8**.** - 60 mg **3a** gelöst in 6 ml Methanol wurden mit 50 mg KHCO₃ in 4 ml H₂O versetzt, die Lösung entgast und unter N₂ 10 Std. bei 50° und 2 Tage bei RT. stehengelassen (tiefviolette Lösung). Einstellen von pH=7 mit 20proz. HOAc (→gelbe Lösung), Zugabe von H₂O, erschöpfende Extraktion mit Äther, Eindampfen im HV. und Säulenchromatographie (SiO₂, Toluol/Äther 13:7). Aus der gelben, rascher laufenden schmalen Zone erhielt man 6,5 mg (11%) DC-reines **6d** und aus der unmittelbar folgenden gelben Fraktion 16 mg (22%) DC-reines **6c**. Beide Verbindungen ließen sich bisher nicht kristallisieren.

6c. - UV./VIS. (Methanol): 272 (4,36), 403 (3,15). - IR.: 3410, 2930, 1658, 1635, 1608, 1373, 1152, 1123, 1037, 1025, 900. - ¹H-NMR. (Aceton-d₆): 1,06 (d, J=6 Hz, 3 H, H₃C(19)); 1,08 (d, J=6 Hz, 3 H, H₃C(17)); 1,32 (s, 3 H, H₃C(20)); 2,45 und 2,79 (je d×d, AB-Teil, J_{AB}=12 Hz, J_{AX}≈6 Hz, J_{BX}≈7 Hz, je 1 H, H₂C(15)); 2,48 (m, w_{1/2}≈4 Hz, 1 H, H-C(5)); 3,30 (s, 3 H, H₃CO-C(16)); 3,50 (d×sext.-artiges *m*, X-Teil, Linienabstand=6 Hz, 1 H, H-C(16)); 4,21 (m, w_{1/2}=5 Hz, 1 H, H-C(6)); 4,68 (d, J=2 Hz, H-C(7)); 4,90 und 5,27 (je m, w_{1/2}=3 Hz, je 1 H, H₂C(18)); 7,18 (s, 1 H, HO-C(12)). - MS.: 378 (M⁺+2, 15), 376 (M⁺, C₂₁H₂₈O₆, 30), 360 (M⁺+2-H₂O, 35), 344 (M⁺-CH₃OH, 30), 328 (360 -CH₃OH, 30), 300 (90), 285 (300 -CH₃, 25), 284 (20), 220 (35), 205 (100), 59 (100), 43 (95).

6d. - UV./VIS. (Methanol): 272 (4,04), 400 (2,94). - IR.: 3450, 2935, 1663, 1640, 1617, 1460, 1160, 1077, 951, 900. - ¹H-NMR. (Aceton-d₆): 1,09 (d, J=6 Hz, 6 H, H₃C(17), H₃C(19)); 1,31 (s, 3 H, H₃C(20)), 2,36 (m, w_{1/2}=5 Hz, 1 H, H-C(5)); 2,44 und 2,79, je d×d, AB-Teil; J_{AB}=12 Hz, J_{AX}≈6 Hz, J_{BX}≈7 Hz, je 1 H, H₂C(18)); 3,28 (s, 3 H, H₃CO-C(16)); 3,44 (s, 3 H, H₃CO-C(7)); 3,55 (sext. X-Teil, Linienabstand=6 Hz, 1 H, H-C(16)); 4,23 (d, J=2 Hz, 1 H, H-C(7)); 4,32 (m, w_{1/2}=4 Hz, H-C(6)); 4,92 und 5,29 (je m, w_{1/2}=4 Hz, je 1 H, H₂C(18)). - MS.: 392 (M⁺+2, 1), 390 (M⁺, C₂₂H₃₀O₆, 2), 375 (M⁺-CH₃, 3), 372 (M⁺-H₂O, 3), 360 (M⁺-2-CH₃OH, 15), 358 (M⁺-CH₃OH, 30), 343 (375 -CH₃OH, 10), 332 (360 -CO, 10), 328 (360 -CH₃OH, 15), 313 (328 -CH₃, 5), 311 (10), 302 (20), 300 (100), 295 (20), 285 (300 -CH₃, 25), 59 (100).

Di-O-acetat 6e. - «Harte Acetylierung» und Aufarbeitung (s. Kap. 5) von 5 mg **6d** ergab nach präp. DC. (SiO₂, Toluol/Äther 1:2, 1mal steigend) aus der hellgelben Hauptzone mit Rf 0,55, 3,5 mg **6e**,

gelber Lack. - UV./VIS. (Äther, qualitativ): 258, 263, 330 Sch. (schwach). - $^1\text{H-NMR}$. (Aceton-d₆): 1,06 (*d*, $J=6$ Hz, 3 H, H₃C(19)); 1,09 (*d*, $J=6$ Hz, 3 H, H₃C(17)); 1,36 (*s*, 3 H, H₃C(20)); 1,98 (*s*, 3 H, AcO-C(6)); 2,22 (*m*, $w_{1/2}=4$ Hz, 1 H, H-C(5)); 2,30 (*s*, 3 H, AcO-C(12)); 3,23 (*s*, 3 H, H₃CO-C(16)); 3,28 (*s*, 3 H, H₃CO-C(6)); 4,20 (*d*, $J=2$ Hz, 1 H, H-C(7)); 4,65 und 4,90 (je *m*, $w_{1/2}=4$ Hz, je 1 H, H₂C(18)); 5,32 (*m*, $w_{1/2}\approx 5$ Hz, 1 H, H-C(6)).

Chinomethan **8**. - 50 mg **5g** gelöst in 10 ml Methanol/H₂O 2:1, enthaltend 50 mg KHCO₃, während 10 Min. unter N₂ zum Sieden erhitzt. Aufarbeitung (s. oben) und Säulenchromatographie (SiO₂, Toluol/Äther 2:3) gab aus der die Säule am raschesten durchwandernden gelben Zone 6 mg Chinomethan **8**, gelbe Prismen aus Diisopropyläther, Smp. 162,2-165,5° (Zers.). - UV./VIS. (Methanol): 261 Sch. (3,79), 316 (4,06), 400 Sch. (3,05). - UV./VIS. (Äther): 314 (4,17), 370-385 (3,03). - IR.: 3420, 2920, 1735 Sch., 1720, 1635, 1600, 1376, 1255, 1038, 983, 940. - CD. (Dioxan, $c=0,215$ mg/ml, $d=5$ mm): 220 (0), 227 (-1,38), 247 Sch. (-0,39), 253 (0), 277 (+4,15), 300 (0), 315 (-1,17), 328 Sch. (-0,86), 406 (0), 424 (+0,17), 463 (0), 506 (+0,17), 540 (0). - $^1\text{H-NMR}$. (Aceton-d₆): 1,19 (*d*, $J=6$ Hz, 3 H, H₃C(17)); 1,58 (*s*, 3 H, H₃C(19)); 1,65 (*s*, 3 H, H₃C(20)); 2,00 (*s*, 3 H, AcO-C(18)); *ca.* 2,6-3,1 (*m*, *ca.* 2 H, H₂C(15)); 3,45 (*s*, 3 H, H₃CO-C(16)); 3,65 (*m*, *ca.* 2-3 H, H-C(16), OH); 4,02 und 4,20 (je *d*, AB-System, $J_{AB}=10,5$ Hz, je 1 H, H₂C(18)); 4,67 (*m*, $w_{1/2}=13$ Hz, 1 H, H-C(6)); 4,94 (*m*, $w_{1/2}=7$ Hz, 1 H, H-C(3)); 7,12 (*d*, $J=6$ Hz, 1 H, H-C(7)); 7,30 (*s*, 1 H, HO-C(11)); 8,04 (*s*, 1 H, Formyl-H). - MS.: 464 (M^+ , C₂₄H₃₂O₉, 10), 462 (5), 460 (12), 448 (80), 434 (462 - CO, 5), 422 (M^+ - Keten, 15), 420 (462 - Keten, 25), 404 (20), 402 (462 - HOAc, 30), 388 (434 - HCOOH, 15), 370 (388 - H₂O, 10), 358 (60), 344 (30), 327 (50), 312 (327 - CH₃, 50), 311 (50), 300 (30), 298 (40), 297 (45), 295 (100), 283 (50), 269 (35), 267 (35), 256 (35), 243 (55), 242 (55).

LITERATUR

- [1] *K. Grob*, Diplomarbeit Universität Zürich 1976.
- [2] *M. Gürke*, Englers Bot. Jahrbuch 38, 169 (1907).
- [3] *T. Miyase, P. Rüedi & C. H. Eugster*, Helv. 60, 2770 (1977).
- [4] *M. Moir, P. Rüedi & C. H. Eugster*, Helv. 56, 2539 (1973).
- [5] *S. Arihara, P. Rüedi & C. H. Eugster*, Helv. 58, 343 (1975).
- [6] *A. H.-J. Wang, I. C. Paul, R. Zelnik, K. Mizuta & D. Lavie*, J. Amer. chem. Soc. 95, 598 (1973).
- [7] *M. Hensch, P. Rüedi & C. H. Eugster*, Helv. 58, 1921 (1975).
- [8] *M. Koreeda, N. Harada & K. Nakanishi*, J. Amer. chem. Soc. 96, 266 (1974).
- [9] *K. Tori, I. Horibe, H. Shigemoto & K. Umemoto*, Tetrahedron Letters 1975, 2199.
- [10] *P. Rüedi & C. H. Eugster*, Helv. 60, 1233 (1977).
- [11] *C. Djerassi, O. Halpern, V. Halpern, O. Schindler & C. Tamm*, Helv. 41, 250 (1958).
- [12] *H.J. Hansen*, in 'Mechanisms of Molecular Migrations' B.S. Thyagarajan, Herausgeber, Wiley-Interscience, N.Y. 1971, Vol. 3, S. 177.
- [13] *P. Rüedi & C. H. Eugster*, Helv. 54, 1606 (1971).
- [14] *P. Rüedi & C. H. Eugster*, Helv. 55, 1736 (1972).
- [15] *P. Rüedi & C. H. Eugster*, Helv. 58, 1899 (1975).
- [16] *M. Schmid*, Diplomarbeit Universität Zürich 1976.
- [17] *P. Rüedi & C. H. Eugster*, Helv. 55, 1994 (1972).
- [18] *M. Moir, P. Rüedi & C. H. Eugster*, Helv. 56, 2534 (1973).
- [19] *P. S. Manchand & J. F. Blount*, Tetrahedron Letters 1976, 2489.
- [20] *P. Rüedi & C. H. Eugster*, Helv. 56, 1129 (1973).